

การประเมินพื้นที่เสี่ยงภัยจากการเคลื่อนตัวของผิวดินในประเทศไทย โดยใช้เทคนิค SBAS-InSAR ร่วมกับระบบสารสนเทศภูมิศาสตร์

Assessment of Ground Surface Displacement and Landslide Risk in Thailand Using SBAS-InSAR and Geographic Information Systems

ธีพัฒน์ เพื่องุณิรุณ¹ ปันณ์เดช² และ รศ.ดร.ธีรวัตร บุญญา³

^{1,2,3} ภาควิชาวิศวกรรมโยธา คณะวิศวกรรมศาสตร์ จุฬาลงกรณ์มหาวิทยาลัย

บทคัดย่อ

การศึกษานี้นำเสนอการประยุกต์ใช้เทคนิคการวิเคราะห์ภาพเด็กจากดาวเทียมแบบสังเคราะห์ช่องเปิดโดยวิธีช่วงฐานจำกัดขนาดเล็ก (Small Baseline Subset – SBAS) ร่วมกับชุดคำสั่ง MintPy ใน การประมวลผลภาพจากดาวเทียม Sentinel-1 ที่ใช้คลื่นเรเดาร์ย่านซี (C-band) จากแนวโคลนราขึ้น เพื่อวิเคราะห์และติดตามการเคลื่อนตัวของผิวดินในบริเวณภาคเหนือและกรุงเทพมหานคร ในช่วงปี พ.ศ. 2561 ถึง พ.ศ. 2568 โดยเริ่มต้นจากการคัดกรองและตัดกรอบพื้นที่สนใจ (พื้นที่ศึกษา) เพื่อจำกัดขอบเขตข้อมูล จากนั้นนำข้อมูล เชิงชี้ของการประมวลผลครั้งเดียว (Single Look Complex – SLC) มาประมวลผลเพื่อสร้างภาพเบรี่ยนเทียบคลื่นเรดา(r) (อินเตอร์ เฟอร์โนมแกรม) สำหรับชุดข้อมูล SBAS โดยเลือกคู่ภาพที่มีระยะห่าง เชิงพื้นที่ไม่เกิน 200 เมตร และระยะเวลาห่างกันไม่เกิน 12 วัน เพื่อ นำไปวิเคราะห์การเปลี่ยนแปลงตามช่วงเวลา และคำนวณอัตราการเคลื่อนตัว พร้อมทั้งเลือกจุดอ้างอิงที่มีการเคลื่อนตัวน้อยที่สุด นอกจากระบบ QGIS เพื่อจัดทำแผนที่เชิงพื้นที่และวิเคราะห์รูปแบบการเคลื่อนตัว ทำให้สามารถระบุ พื้นที่เสี่ยงภัยที่มีอัตราการเคลื่อนตัวเกินเกณฑ์วิกฤตได้อย่างแม่นยำ งานวิจัยนี้จึงได้เปรียบเทียบแนวโน้มการทรุดตัวของผิวดินกับข้อมูล ระดับน้ำใต้ดิน และแผนที่เสี่ยงภัยจากการเกิดดินโคลนคล่ม ข้อเสนอแนะจากการวิจัย ได้แก่ การบูรณาการข้อมูลจากเทคนิค อินเตอร์เฟอร์โนมแกรมในลักษณะใกล้เคียงเวลาจริง (near-real time) เพื่อติดตามการทรุดตัวของผิวดิน และใช้ผลการวิเคราะห์ดังกล่าว สนับสนุนมาตรการเตือนภัยการเกิดดินโคลนคล่มในอนาคต

คำสำคัญ: InSAR, SBAS, MintPy, Displacement, QGIS

Abstract

This study presents the application of Small Baseline Subset Interferometric Synthetic Aperture Radar (SBAS-InSAR) in conjunction with the MintPy processing package to analyze satellite radar imagery from the Sentinel-1 mission (C-band, ascending orbit) for the purpose of monitoring ground surface displacement in Northern Thailand and the Bangkok Metropolitan Region between 2018 and 2025.

The analysis begins with the selection and cropping of the area of interest (AOI), followed by the generation of interferograms from image pairs with spatial baselines not exceeding 200 meters and temporal baselines of no more than 12 days. These are used for time-series analysis and the estimation of annual displacement rates, referencing the most stable point in the dataset. The resulting displacement velocity maps and time-series data are integrated into a Geographic Information System (QGIS) for spatial analysis. The results are compared against groundwater level data and landslide hazard maps provided by governmental agencies to evaluate the consistency of the observed displacement trends with official hazard assessments.

This study proposes the use of near-real-time InSAR data integration as a decision-support tool for early warning systems in landslide-prone areas.

Keywords: InSAR, SBAS, MintPy, Displacement, QGIS

1 บทนำ

การวิเคราะห์โดยเบรียบเทียบภาพจากเรดาร์แบบสั้นเค拉ห์ช่องเปิด (Interferometric Synthetic Aperture Radar – InSAR) เป็นวิธีการหนึ่งที่ใช้ข้อมูลจากภาพถ่ายดาวเทียมในการวิเคราะห์การเคลื่อนตัวของผิวดินในระดับมหาวิหาร ครอบคลุมพื้นที่เป็นภูมิภาค บริเวณก้างได้ด้วยข้อดีดังกล่าว จึงมีผู้นิยมนำมาใช้เป็นเครื่องมือในการติดตามการเปลี่ยนแปลงของเปลือกโลก ปัจจุบันได้รับการพัฒนาจนสามารถตรวจการเคลื่อนตัวของผิวดินได้อย่างแม่นยำและต่อเนื่อง และแบ่งออกตามเทคนิคย่อยได้หลายวิธี ในการศึกษานี้จะใช้การวิเคราะห์แบบช่วงฐานจำกัดขนาดเล็ก (Small Baseline Subset InSAR – SBAS InSAR) เป็นเครื่องมือในการศึกษา ซึ่งเทคนิคดังกล่าวจะคัดเลือกคู่ภาพที่มีระยะห่างเชิงพื้นที่และระยะห่างเชิงเวลาในระดับต่ำ เพื่อทำให้ภาพเบรียบเทียบคลื่นเรเดาร์มีลักษณะน่ารับกันน้อย จุดสำคัญในการวิเคราะห์คือ การเลือกจุดอ้างอิง (reference point) และวันอ้างอิง (reference date) ที่เหมาะสมเพื่อช่วยลดความเอียงของผลลัพธ์เบื้องต้น การวิเคราะห์ตามวิธี SBAS InSAR จะดำเนินการด้วย

ไฟล์ rarri MintPy (Miami InSAR Time-series software in Python) ซึ่งถูกพัฒนาขึ้นเพื่อรองรับกระบวนการวิเคราะห์โดยเทคนิค SBAS ตั้งแต่การตัดครอบภาพ (clipping) การสร้างอินเตอร์เฟซโปรแกรม การวิเคราะห์ข้อมูลตามลำดับเวลา และการสร้างแผนที่ความเร็วของการเคลื่อนตัว งานวิจัยนี้ได้นำเทคนิค SBAS InSAR มาประยุกต์ใช้ในการศึกษาการเคลื่อนตัวของผิวดิน เช่น การหาดูดตัวของพื้นดินในกรุงเทพมหานคร และ การเคลื่อนตัวของผิวดินในพื้นที่เสี่ยงภัยดินถล่มบริเวณภาคเหนือ ซึ่งส่งผลกระทบต่อโครงสร้างพื้นฐาน ระบบคมนาคม และความปลอดภัยของประชาชน

งานวิจัยนี้มีวัตถุประสงค์เพื่อ

-ประยุกต์ใช้ SBAS-InSAR ร่วมกับ MintPy ในการประมวลผลภาพ Sentinel-1 C-band สำหรับพื้นที่ภาคเหนือและกรุงเทพมหานคร ระหว่างปี พ.ศ. 2561–2568

-วิเคราะห์อัตราการเคลื่อนตัว (displacement rate) รายปีในพื้นที่ภาคเหนือ และระบุพื้นที่ที่เสี่ยงต่อการเกิดดินถล่ม โดยพิจารณาจากอัตราการเคลื่อนตัวเทียบกับเกณฑ์วิกฤติ

-นำผลการวิเคราะห์ซึ่งได้แก่ การเปลี่ยนแปลงตามช่วงเวลาและอัตราการเคลื่อนตัว เข้าสู่ระบบสารสนเทศภูมิศาสตร์ (QGIS) เพื่อวิเคราะห์เชิงพื้นที่ร่วมกับข้อมูลระดับน้ำบาดาลและแผนที่ความเสี่ยงดินถล่ม

2 ระเบียบวิธีวิจัย

2.1 ขั้นตอนการเตรียมไฟล์ข้อมูล InSAR ในการวิเคราะห์ Mintpy

2.1.1 เลือกแหล่งข้อมูลการดาวน์โหลด InSAR จาก Alaska Satellite Facility (ASF)

1. กำหนดพื้นที่สนใจ (Area of Interest - AOI)

2. ตั้งค่าพารามิเตอร์การค้นหา:

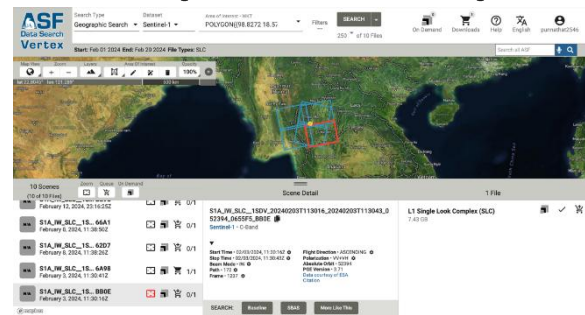
-เลือกเซ็นเซอร์ที่ต้องการ คือ Sentinel-1 (C-band)

-กำหนดช่วงวันที่สำหรับข้อมูลที่ต้องการ

-เลือกประเภทผลิตภัณฑ์ SBAS สำหรับการประมวลผล

Mintpy

-เลือกประเภท Flight direction เป็น Ascending

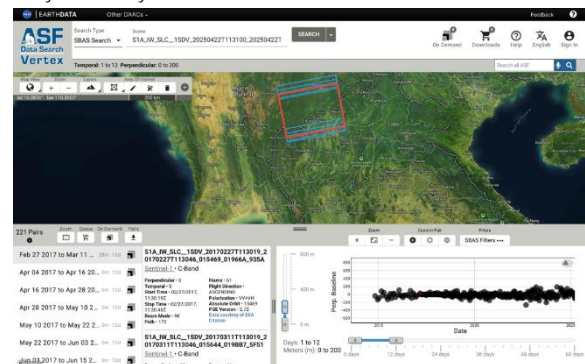


รูปที่ 1 แหล่งข้อมูลการดาวน์โหลด InSAR จาก Alaska Satellite Facility (ASF)

2.1.2 เลือกจำนวนภาพตามระยะเวลา

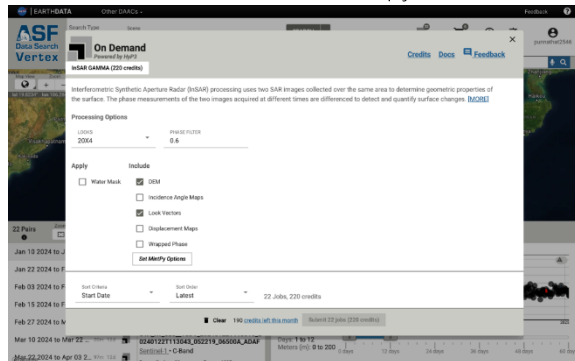
1. ระยะ Perp. Baseline 0 to 200 m

2. Day 1-12 days



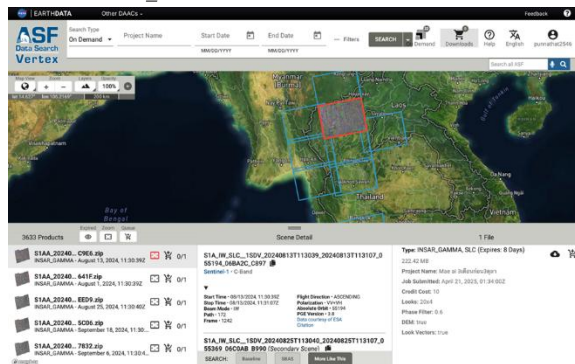
รูปที่ 2 การประมวลผล SBAS

2.1.3 การตั้งค่าเพื่อเตรียมประมวลผล Mintpy



รูปที่ 3: การตั้งค่าเพื่อเตรียมประมวลผล Mintpy

2.1.4 ไฟล์ InSAR_GAMMA ที่ได้



รูปที่ 4: ไฟล์ InSAR_GAMMA

2.1.5 ดาวน์โหลดไฟล์สำหรับ Mintpy

ดาวน์โหลดไฟล์ InSAR_GAMMA ในพื้นที่และช่วงเวลาที่ต้องการประมวลผลทั้งหมด

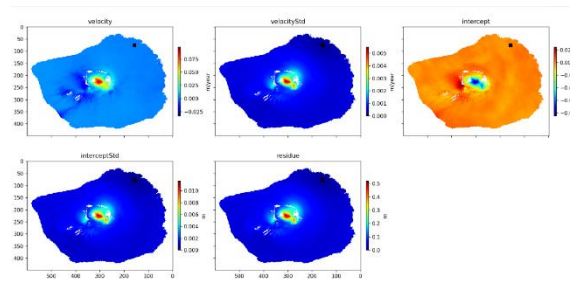
2.2 ขั้นตอนการวิจัยการใช้งานซอฟต์แวร์

2.2.1 ติดตั้งซอฟต์แวร์ MintPy ติดตั้งผ่าน terminal

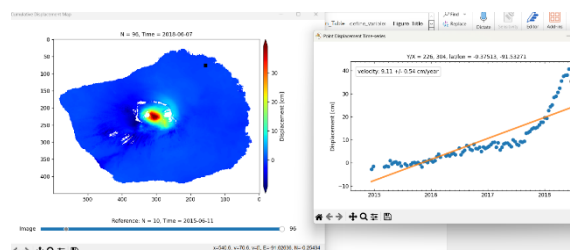
- ติดตั้ง Mintpy โดย
`conda create -n hyp3-mintpy python=3.10
hyp3_sdk "mintpy>=1.5.2" pandas jupyter ipympl`
- สร้าง Environment สำหรับ Mintpy ใน kernel ของ jupyter notebook
`python -m ipykernel install --user \
--name hyp3-mintpy \
--display-name "Python (hyp3-mintpy)"`
- เรียกใช้ Mintpy ใน terminal โดย
`conda activate hyp3-mintpy`
- เปิด jupyter notebook และไปที่ New Python (hyp3-mintpy) และใช้โค้ดที่เขียนไว้ในรายงาน

2.2.2 ผลลัพธ์ที่สืบฯจากการประมวลผล Mintpy

- เรียกใช้คำสั่ง Small Baseline Processing Workflow กับข้อมูลที่ได้เตรียมไว้ ของซอฟต์แวร์ MintPy จะได้ผลลัพธ์เป็นต้นเป็นไฟล์ Displacement Time Series และ Average Velocity
- จากนั้นสามารถปรับแต่งหรือเรียกใช้ผลลัพธ์ได้ ด้วยอย่างผลลัพธ์ Average Velocity ดังแสดงในรูปที่ 5 และ Displacement Timeseries ดังแสดงในรูปที่ 6



รูปที่ 5: Average Velocity



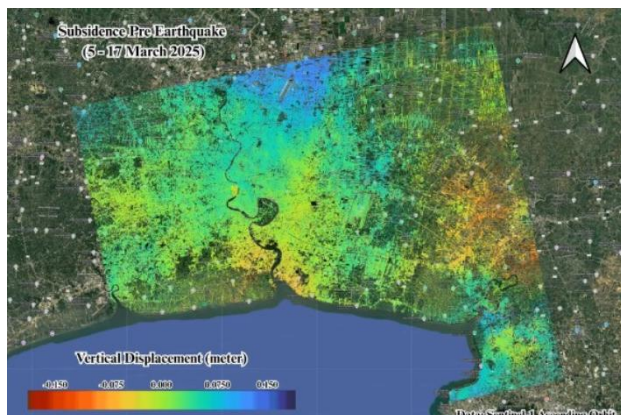
รูปที่ 6: Displacement Timeseries

3 ผลการทดลองและวิเคราะห์ผลลัพธ์

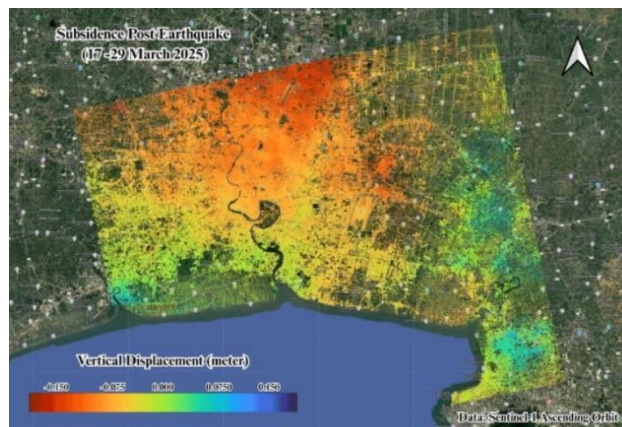
3.1 ผลการทดลองที่พื้นที่ กรุงเทพฯ ก่อนและหลังเกิดแผ่นดินไหว

เมื่อวันที่ 28 มีนาคม พ.ศ. 2568 เกิดเหตุการณ์แผ่นดินไหวขนาดประมาณ 8.2 ตามมาตราฐานดั่งเมนเดลในประเทศไทยเมืองน้ำซึ่งประเทศไทยซึ่งมีพื้นที่ใกล้คุณย์กลางแผ่นดินไหว ได้รับผลกระทบอย่างรุนแรงในหลายพื้นที่ จากเหตุการณ์ดังกล่าว ผู้วิจัยจึงได้นำเหตุการณ์นี้มาเป็นกรณีศึกษา โดยใช้โปรแกรม MintPy ซึ่งเป็นเครื่องมือประมวลผลข้อมูลเรดาร์จากการเทียบแบบลังเคราะห์ช่องเบปี (InSAR) เพื่อวิเคราะห์แนวโน้มการเคลื่อนตัวของผิวดินในพื้นที่กรุงเทพมหานคร

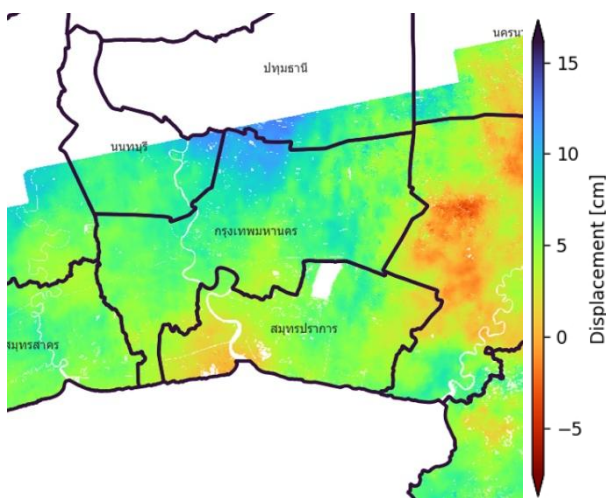
ในการศึกษาแบ่งช่วงเวลาการวิเคราะห์ออกเป็นสองช่วง ได้แก่ ช่วงก่อนเกิดแผ่นดินไหว ระหว่างวันที่ 5 มีนาคม พ.ศ. 2568 ถึง 17 มีนาคม พ.ศ. 2568 (แสดงในรูปที่ 9) และช่วงหลังเกิดแผ่นดินไหว ระหว่างวันที่ 17 มีนาคม พ.ศ. 2568 ถึง 29 มีนาคม พ.ศ. 2568 (แสดงในรูปที่ 10) ผลการวิเคราะห์จากโปรแกรม MintPy ถูกนำมาเปรียบเทียบกับข้อมูลที่เผยแพร่โดยเพจบนสื่อสังคมออนไลน์ [4] โดยเฉพาะดังกล่าวได้ใช้ภาพถ่ายดาวเทียม Sentinel-1 และเทคโนโลยี InSAR ในภาระที่เปรียบเทียบการทรุดตัวของผิวดินในเขตกรุงเทพมหานครก่อนและหลังเหตุการณ์แผ่นดินไหว โดย [4] ได้มีการรายงานว่าพื้นที่กรุงเทพฯ ก่อนเกิดแผ่นดินไหวมีการเคลื่อนตัวอยู่ในช่วง $+0.05$ ถึง -0.01 เมตร และพบรากทรุดตัวเพิ่มขึ้นหลังแผ่นดินไหว โดยเฉพาะตอนบนของกรุงเทพฯ ที่มีค่าทรุดสูงสุดถึง -0.073 เมตร (7.3 เซนติเมตร) ในบางพื้นที่ภายในเวลาไม่ถึง 2 สัปดาห์ ล้านนิชฐานร้าวแรงสั่นสะเทือนอาจมีผลต่อโครงสร้างของชั้นดินในพื้นที่อ่อน ทำให้เกิดการทรุดตัวแบบเฉียบพลัน



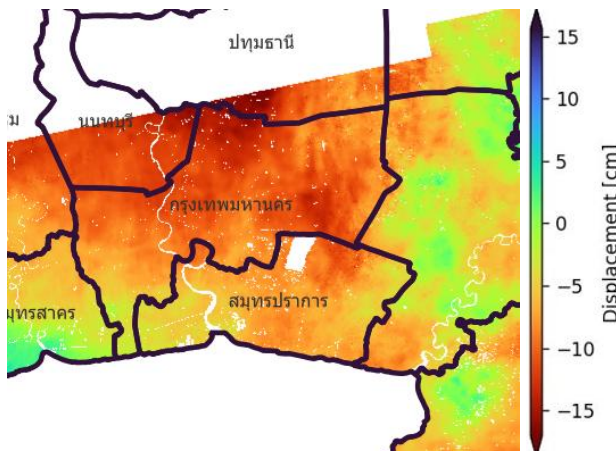
รูปที่ 7: อัตราการเคลื่อนตัวก่อนเกิดแผ่นดินไหวที่วิเคราะห์โดยผู้ศึกษาอื่น [4]



รูปที่ 8: อัตราการเคลื่อนตัวหลังเกิดแผ่นดินไหวที่วิเคราะห์โดยผู้ศึกษาอื่น [4]



รูปที่ 9: อัตราการเคลื่อนตัวก่อนเกิดแผ่นดินไหวที่วิเคราะห์โดยผู้ศึกษา



รูปที่ 10: อัตราการเคลื่อนตัวก่อนเกิดแผ่นดินไหวที่วิเคราะห์โดยผู้ศึกษา

จากผลลัพธ์ของ Mintpy นั้นได้ออกมาแนวโน้มเป็นไปในทิศทางเดียวกับที่คาดการณ์ไว้ ค่าจีบีซี 0.1 ถึง -0.04 เมตรและหลังจากการเกิดแผ่นดินไหวพบการทรุดตัวเพิ่มขึ้นตอนบนของกรุงเทพฯ มีค่ามากสุดถึง -0.13 เมตร ซึ่งเป็นการเปลี่ยนแปลงไปอย่างมีนัยสำคัญ ถึงแม้ว่าค่าจะไม่เท่ากันแต่จากแนวโน้มต่างๆ เหมือนกันอย่างมาก จากผลลัพธ์นี้แสดงให้เห็นว่าบวนการวิเคราะห์ในการศึกษานี้มีความสอดคล้องกับผลการวิเคราะห์ของผู้ศึกษาอื่น

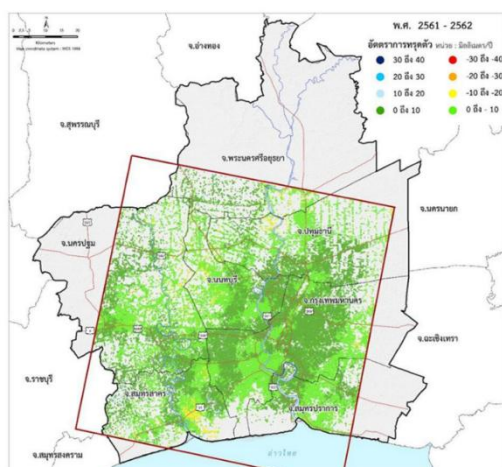
3.2 ผลการทดลองที่พื้นที่ กรุงเทพฯ ณ ปี พ.ศ. 2561 ถึงปี พ.ศ. 2562

จากการสืบค้นข้อมูลเกี่ยวกับการทรุดตัวของผิวดินในพื้นที่ กรุงเทพมหานครข้อมูล พบว่าในรายงานสถานการณ์น้ำาดาล ประจำปี พ.ศ. 2565 ของกรมทรัพยากรน้ำาดาล [9] มีการนำเสนอภาพแสดงการทรุดตัวของพื้นที่กรุงเทพมหานครในช่วงปี พ.ศ. 2561–2562 ข้อมูลดังกล่าวจึงถูกนำมาใช้เป็นพื้นฐานในการทดลอง เพื่อเปรียบเทียบกับผลการประมวลผลที่ได้จากโปรแกรม MintPy

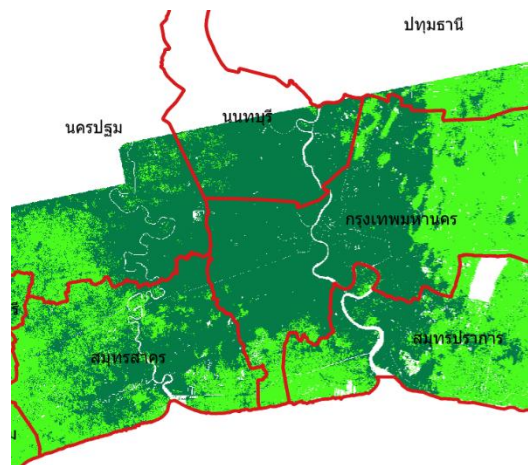
จากรูปที่ 11 ซึ่งเป็นภาพจากรายงานข้างต้น พบว่าภาพส่วนใหญ่ประกอบด้วยสีเขียวเข้ม เขียวอ่อน และเหลือง โดยสีเขียว อ่อนและเหลืองถูกใช้แทนบริเวณที่มีการทรุดตัวของผิวดินในระดับ น้อย ใน การทดลองนี้ ผู้วิจัยจึงได้ปรับค่าผลลัพธ์ที่ได้จากการ ประมวลผลให้มีการแสดงผลสีใกล้เคียงกับรายงานดังกล่าว โดย กำหนดให้สีเขียวเข้มแสดงถึงการตัวของผิวดิน และสีเขียวอ่อน แสดงถึงการทรุดตัว ตามที่แสดงในรูปที่ 12

เมื่อนำภาพที่ได้จากโปรแกรม MintPy (รูปที่ 12) มา เปรียบเทียบกับภาพจากรายงานเดิม (รูปที่ 11) พบว่าแนวโน้มของ การเคลื่อนตัวของผิวดินทั้งในลักษณะการยกตัวและการทรุดตัว มี ความสอดคล้องกันอย่างมากในหลายพื้นที่ อย่างไรก็ตาม ยังมีบาง บริเวณที่ผลลัพธ์ไม่ตรงกับข้อมูลจากรายงาน ซึ่งเกิดจากบริเวณนั้นมี ค่าความเร็วการเคลื่อนตัว (*velocity*) อยู่ใกล้ศูนย์ ส่งผลให้การแปล ผลด้วยวิธี SBAS ซึ่งเป็นเทคนิคที่เน้นความต่อเนื่องเชิงเวลา แต่มี ความละเอียดเชิงพื้นที่น้อยกว่าวิธีอื่น อาจเกิดความคลาดเคลื่อนใน พื้นที่ที่ค่าการเคลื่อนตัวต่ำหรืออยู่ในช่วงเปลี่ยนผ่านใกล้ค่าศูนย์

แม้ว่าจะมีข้อจำกัดดังกล่าว แต่ในบริเวณที่รายงานเดิมระบุว่า เป็นพื้นที่ทรุดตัว (แสดงด้วยสีเหลือง) โปรแกรม MintPy ก็สามารถ ตรวจสอบการทรุดตัวได้อย่างถูกต้อง แสดงให้เห็นถึงศักยภาพของ เทคนิคนี้ในการตรวจสอบแนวโน้มการเปลี่ยนแปลงระดับผิวดินใน ภาพรวม



รูปที่ 11: อัตราการทรุดตัวของแผ่นดินปี พ.ศ. 2561-2562 [9]



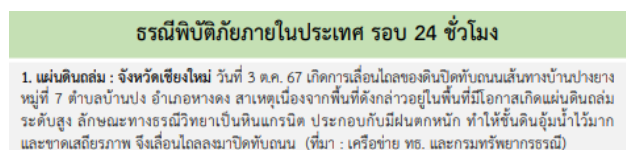
รูปที่ 12: อัตราการทรุดตัวของแผ่นดินจากการวิเคราะห์ของผู้ศึกษา

3.3 ผลการทดลองที่พื้นที่บริเวณจังหวัดเชียงใหม่

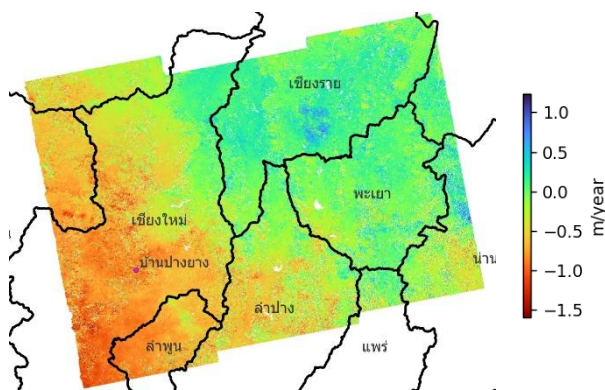
เมื่อวันที่ 3 ตุลาคม พ.ศ. 2567 ได้เกิดเหตุการณ์ดินเลื่อนไถล ในพื้นที่บ้านปางยาง หมู่ที่ 7 ตำบลบ้านปง อำเภอหางดง จังหวัด เชียงใหม่ เหตุการณ์นี้สอดคล้องกับประกาศแจ้งเตือนของกรม ทรัพยากรธรรมชาติในช่วงวันที่ 3–4 ตุลาคม พ.ศ. 2567 ซึ่งระบุว่าหลาย พื้นที่ รวมถึงจังหวัดเชียงใหม่ มีความเสี่ยงสูงต่อการเกิดดินถล่มจาก ฝนตกหนัก

จากรูปดังกล่าวพบว่า พื้นที่บ้านปางยางมีค่าการเคลื่อนตัวของ ผิวดินในช่วงเวลา ก่อนเกิดเหตุ เพื่อศึกษาการเปลี่ยนแปลงของผิวดิน โดยใช้ข้อมูลจากวันที่ 1 สิงหาคม พ.ศ. 2567 ถึงวันที่ 30 กันยายน พ.ศ. 2567 เป็นระยะเวลาส่องเดือนก่อนเกิดเหตุถล่ม ผลการ วิเคราะห์ปรากฏในรูปที่ 14

จากรูปดังกล่าวพบว่า พื้นที่บ้านปางยางมีค่าการเคลื่อนตัวของ ผิวดินในระดับสูงอย่างชัดเจนแม้ก่อนเกิดเหตุการณ์ ซึ่งแสดงให้เห็น ถึงแนวโน้มความไม่เสถียรของชั้นดินในพื้นที่ การทดลองนี้ชี้ให้เห็น ว่าโปรแกรม MintPy สามารถระบุพื้นที่ที่มีการเคลื่อนตัวของผิวดิน ในปริมาณมากได้อย่างมีประสิทธิภาพ โดยเฉพาะในกรณีที่การ เคลื่อนตัวดังกล่าวมีแนวโน้มที่จะนำไปสู่การเลื่อนโคลหรือการถล่ม ของดินในเวลาต่อมา



รูปที่ 13: ข่าวการเกิดการเลื่อนโคลของดิน ณ วันที่ 3 ตุลาคม พ.ศ. 2567

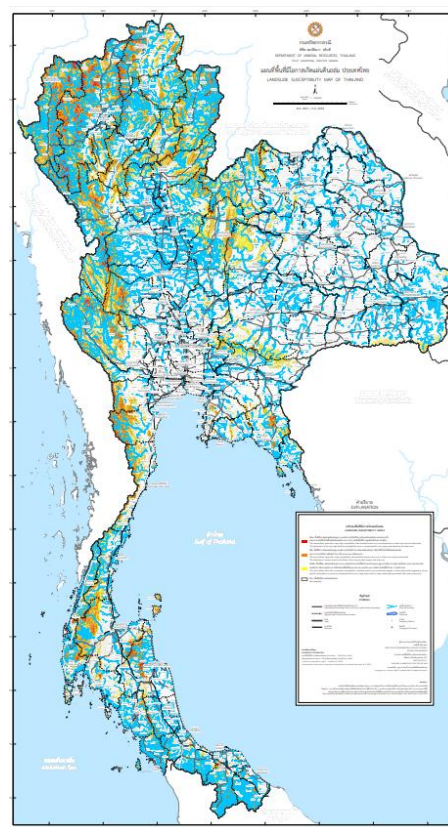


รูปที่ 14: ผลการเกิดการเลื่อนไถของดิน ณ วันที่ 3 ตุลาคม พ.ศ. 2567

3.4 ผลการทดลองเทียบกับแผนที่เดือนภัยของกรมทรัพยากร ธรรมี

จากการค้นข้อมูลพบว่า กรมทรัพยากรธรรมีได้จัดทำรายงาน
แผนที่พื้นที่เลี้ยงภัยประจำปี พ.ศ. 2567 [8] ซึ่งได้ระบุพื้นที่เลี้ยงภัย
ดินคลุมในระดับต่าง ๆ ทั่วประเทศ จากข้อมูลดังกล่าว ผู้วิจัยได้นำ
พื้นที่ในเขตภาคเหนือที่อยู่ในความสนใจมาทำการวิเคราะห์ โดย
เลือก 2 พื้นที่ศึกษา และใช้ช่วงเวลาเดียวกันในการประมาณผล ได้แก่
ช่วงระหว่างวันที่ 3 มกราคม พ.ศ. 2567 ถึงวันที่ 16 ธันวาคม พ.ศ.
2567

ผลการประมาณผลจากแต่ละพื้นที่จะนำมาเปรียบเทียบกับแผน
ที่เลี้ยงภัยของหน่วยงานรัฐ และในกรณีที่พื้นที่ใดมีผลการวิเคราะห์ที่
สอดคล้องกัน หรือแสดงรูปแบบการเคลื่อนตัวที่มีลักษณะใกล้เคียง
กัน จะรวมข้อมูลเหล่านั้นเพื่อจัดทำแผนที่ภาพรวมของพื้นที่เลี้ยงภัย
ซึ่งสามารถใช้ตรวจสอบความแม่นยำของการวิเคราะห์จากโปรแกรม
MintPy ร่วมกับแผนที่เลี้ยงภัยต้นฉบับ



รูปที่ 15: แผนที่เลี้ยงภัยการเกิดดินโคลนคลุมปี พ.ศ. 2567 [8]

3.4.1 พื้นที่บริเวณจังหวัดตาก

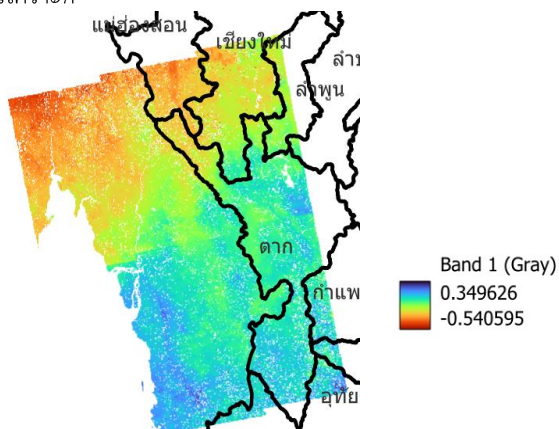
จากรูปที่ 16 ซึ่งเป็นผลรวมของภาพการเคลื่อนตัวของผิวดินจำนวน
สองชุดที่ครอบคลุมพื้นที่จังหวัดตาก ผู้วิจัยได้ปรับค่าความเร็วการ
เคลื่อนที่ให้อยู่ในสเกลเดียวกัน โดยกำหนดให้ค่าประมาณศูนย์แสดง
ด้วยสีเขียวมัน มีอัตราระยะห่างของพื้นที่เลี้ยงภัยของกรม
ทรัพยากรธรรมีในรูปที่ 20 พบว่า บริเวณที่แผนที่เลี้ยงภัยระบุว่าเป็น
พื้นที่เลี้ยงสูง ผลลัพธ์จากการประมาณผลด้วยโปรแกรม MintPy ก็
สามารถตรวจพบการเคลื่อนตัวของผิวดินในระดับสูงเช่นเดียวกัน ไม่
ว่าจะเป็นการเคลื่อนที่ในทิศทางบก (การยกตัว) หรือทิศทางลง
(การหุบตัว)

ตัวอย่างเช่น บริเวณตอนล่างของจังหวัดตาก (รูปที่ 17) ซึ่ง
แผนที่เลี้ยงภัยแสดงว่าเป็นพื้นที่เลี้ยงสูง ผลจาก MintPy ก็แสดงให้
เห็นว่ามีการเคลื่อนตัวในระดับมาก แม้สีที่ปรากฏจะเป็นสีฟ้า (แสดง
ถึงการยกตัว) แต่ก็สะท้อนถึงการเคลื่อนที่ของผิวดินที่มีนัยสำคัญ ซึ่ง
อาจสัมพันธ์กับสภาพไม่เสถียรของชั้นดิน และมีโอกาสนำไปสู่การ
คล่มได้เช่นกัน

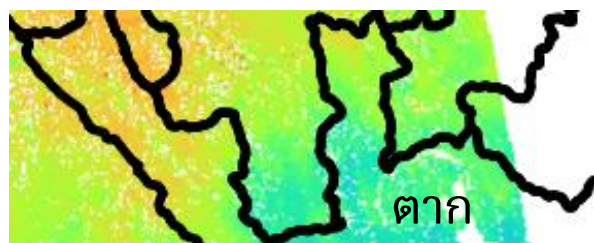
ในบริเวณตอนกลางของจังหวัดตาก (รูปที่ 18) จะเห็นว่ามี
ช่องของภาพซึ่งเป็นส่วนกลางของจังหวัด มีค่าการเคลื่อนที่ต่ำ ซึ่ง
สอดคล้องกับแผนที่เลี้ยงภัยที่ระบุว่าเป็นพื้นที่ความเสี่ยงต่ำ ส่วน
พื้นที่ที่มีค่าสีน้ำเงินเข้มแสดงถึงการเคลื่อนตัวสูงก็ตรงกับตำแหน่ง
ในแผนที่ที่แสดงว่าเป็นพื้นที่เลี้ยง

สำหรับบริเวณตอนบนของจังหวัดตาก (รูปที่ 19) ด้านซ้ายของ
ภาพที่แสดงเป็นสีแดง แสดงถึงการเคลื่อนที่ในระดับสูง ซึ่งตรงกับ
พื้นที่เลี้ยงภัยที่ระบุไว้ในแผนที่ เช่น กัน อาย่างไรก็ตาม บริเวณด้านขวา
ของภาพมีทั้งพื้นที่ที่แสดงด้วยสีน้ำเงิน (การเคลื่อนที่สูง) และสีเขียว
มัน (การเคลื่อนที่น้อย) แต่ในแผนที่เลี้ยงภัยระบุว่าพื้นที่ดังกล่าวเป็น

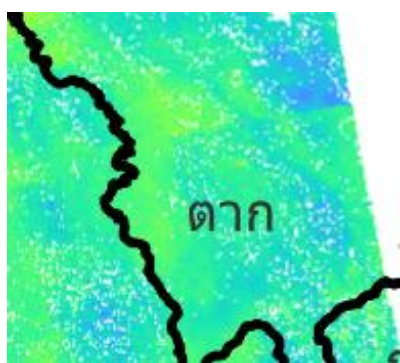
พื้นที่เลี้ยงสูง แสดงให้เห็นว่าผลการวิเคราะห์ด้วยโปรแกรม MintPy ในบางจุดอาจไม่สอดคล้องกับแผนที่เสียงภัย ซึ่งอาจเกิดจากข้อจำกัดของวิธีการหรือความไม่สมบูรณ์ของข้อมูลในช่วงเวลาที่วิเคราะห์



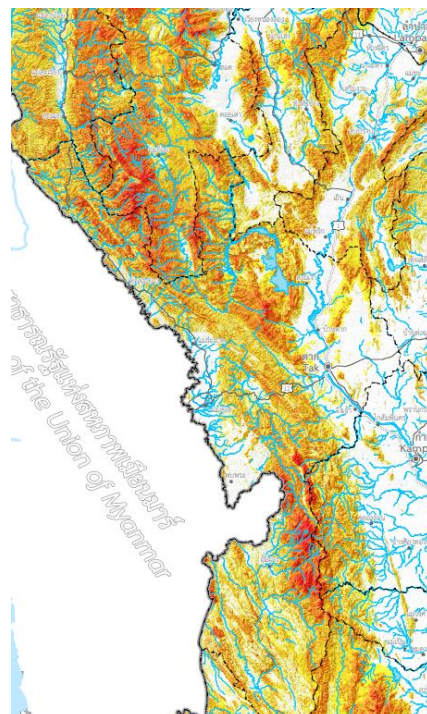
รูปที่ 16: แผนภาพแสดงอัตราการเคลื่อนตัวในพื้นที่จังหวัดตากหลังรวมข้อมูล



รูปที่ 19: แผนภาพแสดงอัตราการเคลื่อนตัวในพื้นที่ตอนบนของจังหวัดตาก



รูปที่ 17: แผนภาพแสดงอัตราการเคลื่อนตัวในพื้นที่ตอนล่างของจังหวัดตาก

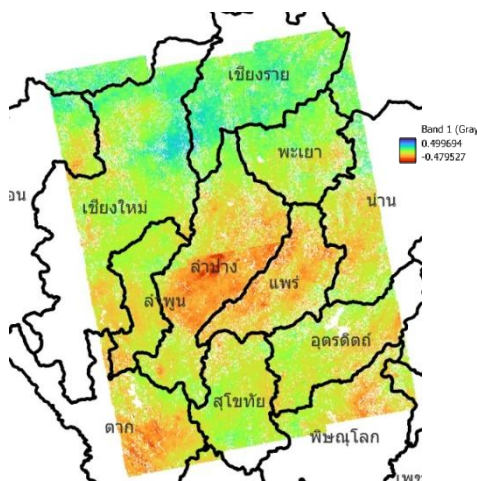


รูปที่ 20: แผนที่เสียงภัยบริเวณจังหวัดตาก



รูปที่ 18: แผนภาพแสดงอัตราการเคลื่อนตัวในพื้นที่ตอนกลางของจังหวัดตาก

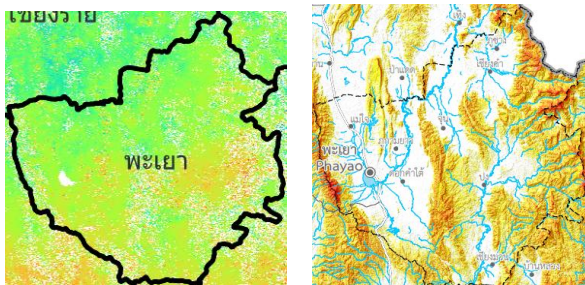
3.4.2 พื้นที่บริเวณจังหวัดลำปาง



รูปที่ 21: แผนภาพแสดงอัตราการเคลื่อนตัวในพื้นที่บริเวณจังหวัดลำปาง หลังรวมข้อมูล

จากรูปที่ 21 ซึ่งเป็นผลรวมของภาพการเคลื่อนตัวของผู้ดิน จำนวนสองชุดที่ครอบคลุมพื้นที่บริเวณจังหวัดลำปาง ผู้วิจัยได้ปรับค่าความเร็วการเคลื่อนที่ให้อยู่ในสเกลเดียวกัน โดยกำหนดให้ค่าประมาณคุณย์แสดงด้วยสีเขียวมันava หลังจากนั้นทำการวิเคราะห์

3.4.2.1 วิเคราะห์จังหวัดพะเยา



รูปที่ 22: แผนภาพแสดงอัตราการเคลื่อนตัวในพื้นที่จังหวัดพะเยา เทียบกับแผนที่เสียงภัยจังหวัดพะเยา

จากรูปที่ 22 แสดงแผนภาพแสดงอัตราการเคลื่อนตัวในพื้นที่จังหวัดพะเยาเทียบกับแผนที่เสียงภัยจังหวัดพะเยา ผลลัพธ์ดังนี้

พื้นที่บริเวณขอบด้านข้างและขวาของจังหวัด

- แผนที่เสียงภัย (ขาว) จะเห็นว่าพื้นที่เสียงสูงกระจายตามแนวขอบตะวันตกและตะวันออกของจังหวัด

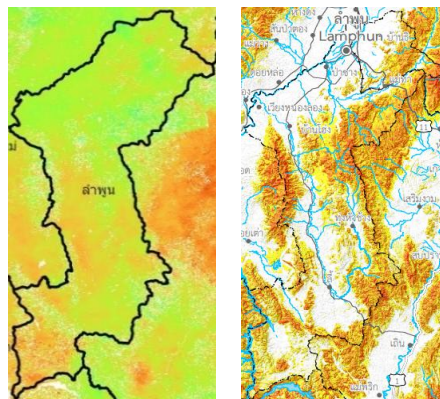
- ผลลัพธ์จาก MintPy (ซ้าย) แสดงให้เห็นสี โดยเฉพาะเขตสีส้ม-แดงที่แสดงการทรุดตัวบริเวณพื้นที่บนบังจังหวัด

พื้นที่ศูนย์กลางจังหวัด

- แผนที่เสียงภัย (ขาว) ระบุว่าพื้นที่ใจกลางเมืองพะเยา มีความเสี่ยงต่ำ (โภนสีอ่อน)

- ผลลัพธ์ MintPy แสดงสีเขียวมันava ที่แสดงว่าการเคลื่อนตัวใกล้ศูนย์ ตรงกับข้อมูลว่าพื้นที่บริเวณนี้มีความเสี่ยง

3.4.2.2 วิเคราะห์จังหวัดลำพูน



รูปที่ 23: แผนภาพแสดงอัตราการเคลื่อนตัวในพื้นที่จังหวัดลำพูนเทียบกับแผนที่เสียงภัยจังหวัดลำพูน

จากรูปที่ 23 แสดงแผนภาพแสดงอัตราการเคลื่อนตัวในพื้นที่จังหวัดลำพูนเทียบกับแผนที่เสียงภัยจังหวัดลำพูน ผลลัพธ์ดังนี้

พื้นที่บริเวณเชิงเขาทางทิศใต้และทิศตะวันตก

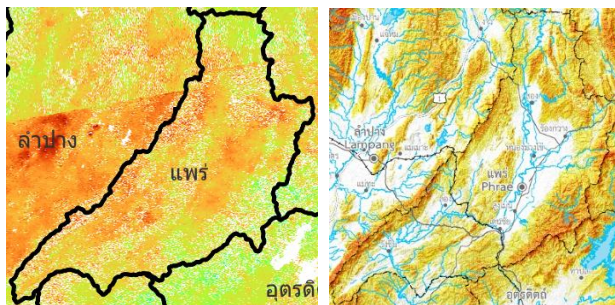
- แผนที่เสียงภัย (ขาว) แสดงพื้นที่เสียงสูงกระจายตามแนวเนินเชิงเขาตะวันตกเฉียงใต้ของจังหวัด

- ผลลัพธ์ Mintpy (ซ้าย) ตรงจุดนั้นปรากฏสีส้ม-แดง และแสดงการเคลื่อนตัวแบบทรุดตัวชัดเจน สอดคล้องกับแผนที่เสียงภัยพื้นที่บริเวณเชิงเขาทางทิศเหนือ-ตะวันออก

- แผนที่เสียงภัย (ขาว) บ่งชี้พื้นที่เสียงปานกลางถึงสูงเรียงตามแนวเชิงเขาตะวันออกเฉียงเหนือ

- ผลลัพธ์ Mintpy (ซ้าย) พบสีเขียวอ่อนและส้มอ่อนมีแนวโน้มการเคลื่อนตัวสะสมที่อาจนำไปสู่ดินโคลนคลุ่มในอนาคตได้

3.4.2.3 วิเคราะห์จังหวัดแพร่

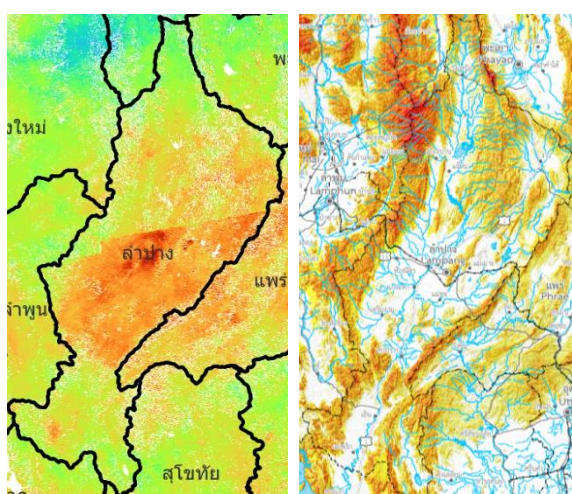


รูปที่ 24: แผนภาพแสดงอัตราการเคลื่อนตัวในพื้นที่จังหวัดแพร่เทียบกับแผนที่เสี่ยงภัยจังหวัดแพร่

จากรูปที่ 24 แสดงแผนภาพการเปรียบเทียบระหว่างผลการศึกษาของผู้วิจัยกับแผนที่เสี่ยงภัยพื้นที่จังหวัดแพร่ ผลลัพธ์ดังนี้ พื้นที่บริเวณเชิงเขาทิศตะวันตก (อำเภอลง-สูงเม่น)

- แผนที่เสี่ยงภัย (ขาว) และพื้นที่เสี่ยงสูงเป็นแนวราวน้ำตามเทือกเขาฝั่งตะวันตกของจังหวัด
- ผลลัพธ์ MintPy (เขียว) ตรงบริเวณดียวกับประภากลางสีฟ้าและแสดงการเคลื่อนตัวสะสมสูง สอดคล้องกับแผนที่เสี่ยงภัยพื้นที่ลุ่มแม่น้ำยมตอนล่าง (อำเภอเมือง-ร่องคาวง)
- แผนที่เสี่ยงภัย (ขาว) พื้นที่ราบลุ่มจัดเป็นพื้นที่เสี่ยงต่ำ (สีอ่อน)
- ผลลัพธ์ MintPy (เขียว) แสดงเป็นสีเขียวอ่อนถึงสีเขียวมะนาว แปลว่าการเคลื่อนตัวใกล้ 0 และคงความเสถียรต่องบพื้นที่เสี่ยงภัยพื้นที่บริเวณเชิงเขาทิศเหนือ-ตะวันออก (อำเภอวังชัน-เด่นชัย)
- แผนที่เสี่ยงภัย (ขาว) ระบุว่ามีความเสี่ยงปานกลางกระจายอยู่ทั่วตามเชิงเขาทางทิศเหนือและตะวันออก
- ผลลัพธ์ MintPy (เขียว) แสดงเป็นสีเขียวล้มอ่อน หมายถึงการทรุดตัวปานกลาง สอดคล้องกับแผนที่เสี่ยงภัย

3.4.2.4 วิเคราะห์จังหวัดลำปาง



รูปที่ 25: แผนภาพแสดงอัตราการเคลื่อนตัวในพื้นที่จังหวัดลำปางเทียบกับแผนที่เสี่ยงภัยจังหวัดลำปาง

จากรูปที่ 25 ซึ่งเป็นการแสดงการเปรียบเทียบระหว่างผลการศึกษาของผู้วิจัยกับแผนที่เสี่ยงภัยพื้นที่จังหวัดลำปาง ผลลัพธ์ดังนี้

พื้นที่บริเวณเทือกเขาตะวันออกเฉียงเหนือ

-แผนที่เสี่ยงภัย (ขาว) และพื้นที่เสี่ยงสูงกระจายตามแนวเทือกเขาทิศตะวันออกเฉียงเหนือของจังหวัด

-ผลลัพธ์ MintPy (เขียว) ตรงพื้นที่ดังกล่าวประภากลางสีฟ้า-แดง แสดงการทรุดตัวสูง สอดคล้องกับแผนที่เสี่ยงภัย

พื้นที่เชิงเขาตอนกลางและตอนใต้

-แผนที่เสี่ยงภัย (ขาว) บ่งชี้ว่าพื้นที่เชิงเขานางส่วนตอนกลาง-ใต้มีความเสี่ยงปานกลาง

-ผลลัพธ์ MintPy (เขียว) พบร่องรอยสีเขียวอ่อนถึงสีเขียวอ่อน ตรงกับพื้นที่เสี่ยงปานกลาง ซึ่งให้เห็นการเคลื่อนตัวปานกลางที่อาจสะสมจนเกิดดินโคลนคล่มได้

3.5 สรุป

จากการทดลองทั้งหมดที่ดำเนินการในงานวิจัยนี้ สามารถสรุปข้อค้นพบเกี่ยวกับการใช้งานโปรแกรม MintPy ได้ว่า โปรแกรมดังกล่าวมีคุณภาพในการวิเคราะห์ค่าความเร็วการเคลื่อนตัวของผิวดิน (velocity) และการเปลี่ยนแปลงตำแหน่ง (displacement) ได้อย่างมีประสิทธิภาพ ทั้งนี้ หลักการพื้นฐานในการนำมาใช้ประเมินความเสี่ยงของการเกิดดินคล่ม คืออ้างอิงจากสมมติฐานที่ว่า หากพื้นที่ได้มีค่าการเคลื่อนตัวของผิวดินในระดับสูง ย่อมมีโอกาสที่พื้นที่นั้นจะเกิดการคล่มได้มากขึ้น

ผลการประมวลผลแสดงให้เห็นว่า MintPy สามารถระบุอัตราความเร็วของการเคลื่อนตัวในแต่ละพื้นที่ได้จริง อย่างไรก็ตาม ค่าที่ได้จากการวิเคราะห์นั้นเป็นค่าที่เปรียบเทียบสัมพัทธ์กับจุดอ้างอิง (reference point) ที่กำหนดให้มีค่าคงที่ หากจุดอ้างอิงดังกล่าวมีความเสถียร ค่าอื่น ๆ ในภาพจะสะท้อนการเคลื่อนตัวที่แท้จริงของพื้นที่โดยรอบ แต่หากจุดอ้างอิงมีการเคลื่อนตัว เมمเพียงเล็กน้อย ก็อาจส่งผลให้ค่าความเสี่ยงตัวในภาพเกิดความคลาดเคลื่อน เช่น หากจุดอ้างอิงเกิดการย้ายตัวเล็กน้อย พื้นที่โดยรอบอาจแสดงค่าทรุดตัวเกินความเป็นจริงได้

โปรแกรม MintPy มีพัฒนาการล่าบการเลือกจุดอ้างอิงโดยอัตโนมัติ โดยพิจารณาจากปัจจัยต่าง ๆ เช่น พื้นที่ที่ไม่มีการเคลื่อนตัว (deformation) หรือเคลื่อนตัวน้อยที่สุด อย่างไรก็ตาม เทคนิค SBAS ที่ใช้ใน MintPy มุ่งเน้นการวิเคราะห์ภาพรวม จึงมีความละเอียดเชิงพื้นที่น้อยกว่าวิธีการอื่น และอาจไม่เหมาะสมกับการตรวจสอบแบบรายจุด

ในการประยุกต์ใช้กับการประเมินพื้นที่เสี่ยงต่อการเกิดดินคล่ม พบว่า ผลการวิเคราะห์จาก MintPy มีความสอดคล้องกับแผนที่เสี่ยงภัยที่จัดทำโดยหน่วยงานรัฐในหลายกรณี โดยเฉพาะในพื้นที่ที่จัดว่าเสี่ยงภัยในระดับสูง ซึ่งโปรแกรมสามารถตรวจพบค่าการเคลื่อนตัวสูงได้เช่นกัน อย่างไรก็ตาม ในบางพื้นที่ที่แผนที่ระบุว่าเสี่ยงต่ำถึงปานกลาง โปรแกรมอาจไม่สามารถแยกแยะความเสี่ยงได้ชัดเจน หรือในบางกรณี โปรแกรมอาจแสดงค่าการเคลื่อนตัวสูงในพื้นที่ที่แผนที่ไม่ได้ระบุว่ามีความเสี่ยง ทั้งนี้เป็นเพราะแผนที่เสี่ยงภัยพิจารณาจากหลักปัจจัยร่วมกัน ไม่ใช่เพียงแค่ค่าการเคลื่อนตัวของผิวดิน

กล่าวโดยสรุป โปรแกรม MintPy เป็นเครื่องมือที่เหมาะสมในการวิเคราะห์แนวโน้มภาพรวมของพื้นที่ที่อาจมีความเสี่ยงต่อการเกิดดินถล่ม โดยสามารถใช้เป็นข้อมูลเบื้องต้นในการระบุพื้นที่ที่ควรได้รับการวิเคราะห์เพิ่มเติมด้วยวิธีอื่นต่อไป

กิตติกรรมประกาศ

ขอขอบพระคุณ Alaska Satellite Facility (ASF) Vertex สำหรับการสนับสนุนข้อมูลดาวเทียม Sentinel-1 C-band ที่มีคุณภาพ ซึ่งเป็นแหล่งข้อมูลหลักในการประมวลผล SBAS InSAR ด้วยซอฟต์แวร์ MintPy ทำให้โครงการวิจัยนี้สามารถวิเคราะห์และติดตามการเคลื่อนตัวของผิวดินได้อย่างแม่นยำและต่อเนื่อง

เอกสารอ้างอิง

- [1] Ahmed, S., et al. (2024). *Land subsidence in Bangkok vicinity: Causes and long-term trend analysis using InSAR and machine learning.*
- [2] ASF. (n.d.). *ASF data search.* Retrieved from <https://search.asf.alaska.edu/> <https://scihub.copernicus.eu/> <https://gdal.org/en/stable/>
- [3] EarthScope Consortium. (2023, June 28). *Event calendar.* Retrieved from https://www.earthscope.org/calendar/?category_name=courses-workshops&past_events=true&search=ISCE
- [4] Facebook. (n.d.). โพสต์จาก Facebook. Retrieved from <https://www.facebook.com/1185188561/posts/10237858791107349>
- [5] GEOS 657. (n.d.). *Microwave remote sensing.* Retrieved from <https://radar.community.uaf.edu/>
- [6] GitHub - insarlab. (n.d.). *MintPy: Miami InSAR time-series software in Python.* Retrieved from <https://github.com/insarlab/MintPy>
- [7] กรมทรัพยากรธรรมชาติ. (2567). *รายงานสถานการณ์ดินถล่ม พื้นที่ภัยประจำวันที่ 3 ตุลาคม พ.ศ. 2567.* เนื้อเรื่องจาก <https://www.dmr.go.th/>
- [8] กรมทรัพยากรธรรมชาติ. (n.d.). *ศูนย์ข้อมูลธรณีภัย.* เนื้อเรื่องจาก <https://www.dmr.go.th/geohazard>
- [9] กรมทรัพยากรน้ำดาล. (2566). *รายงานสถานการณ์น้ำดาล ปี 2565.* เนื้อเรื่องจาก <https://www.dgr.go.th/th/public-service/download?file>
- [10] Kumvijairat, N. (2022). *Investigation of mass wasting in the vicinity of Khao Kho, central Thailand using time-series InSAR technique.*
- [11] Novellino, A., et al. (2021). *Slow-moving landslide risk assessment combining machine learning and InSAR techniques.*
- [12] ประชาชดิธุรกิจ. (2024, ตุลาคม 3). 12 จังหวัด ระวัง “แผ่นดินถล่ม” วันที่ 3–4 ตุลาคม 2567. เนื้อเรื่องจาก <https://www.prachachat.net/economy/news-1666939>
- [13] Pumpuang, A., & Aobpaet, A. (2024). *Evolution pattern of land subsidence using InSAR time-series analysis in Bangkapi, Bangkok, Thailand.*
- [14] Yunjun, Z., et al. (2019). *Small baseline InSAR time series analysis: Unwrapping error correction and noise reduction.*